



Laboratorium Badań Środowiskowych  
ul. Józefa Piusa Dziekońskiego 3  
00-728 Warszawa  
e-mail: [Laboratorium@networks.pl](mailto:Laboratorium@networks.pl)



AB 419

S P R A W O Z D A N I E 10274/2021/OS  
Z POMIARÓW PÓL ELEKTROMAGNETYCZNYCH  
WYKONANYCH DLA POTRZEB OCHRONY ŚRODOWISKA

Badany obiekt: Instalacja radiokomunikacyjna T-Mobile Polska S.A.  
Numer i nazwa: 55143 (27143N!) KKI\_CHMIELNIK\_PIERZCHNIECK9  
Adres: CHMIELNIK, PIERZCHNICKA 9, Powiat kielecki, WOJ. ŚWIĘTOKRZYSKIE

Data wykonania pomiarów: 2021-12-15

Sprawozdanie z badań bez pisemnej zgody laboratorium nie może być powielane inaczej niż w całości.  
Wynik przedstawione w niniejszym sprawozdaniu odnoszą się wyłącznie do badanego obiektu i do warunków i konfiguracji urządzeń w dniu wykonywania pomiarów.

**1. Właściciel badanego obiektu:**

T-Mobile Polska S.A., ul. Marynarska 12, 02-674 Warszawa

**2. Zleceniodawca:**

T-Mobile Polska S.A., ul. Marynarska 12, 02-674 Warszawa

**3. Przedstawiciel zleceniodawcy:**

NetWorkS! Sp.z o.o.

**4. Zakres zlecenia:**

Wykonanie badania i opracowanie sprawozdania z pomiarów natężenia pola elektrycznego i pola magnetycznego dla instalacji radiokomunikacyjnej T-Mobile Polska S.A. zlokalizowanej w miejscowości CHMIELNIK, PIERZCHNICKA 9.

**5. Cel zlecenia:**

Wykonanie pomiarów pól elektromagnetycznych w otoczeniu instalacji radiokomunikacyjnej 55143 (27143N!) KKI\_CHMIELNIK\_PIERZCHNIECK9 w odniesieniu do wymagań określonych w *Rozporządzeniu Ministra Klimatu z dnia 17 lutego 2020 r. w sprawie sposobów sprawdzania dotrzymania dopuszczalnych poziomów pól elektromagnetycznych w środowisku (Dz. U. 2020, poz. 258)*.

**6. Pomiary zostały wykonane przez:**

Bajer Sebastian  
Gucwa Mateusz

**7. Informacje o źródłach pól elektromagnetycznych**

**7.1. Sposób identyfikacji badanych źródeł pól elektromagnetycznych**

Identyfikacji źródeł i parametrów technicznych dokonano na podstawie analizy dokumentacji dotyczącej zlecenia oraz obserwacji miejsca wykonywania badań.

**7.2. Opis miejsca zainstalowania anten i urządzeń technicznych. Opis obiektu badań i jego otoczenia**

Instalacja radiokomunikacyjna zlokalizowana jest na terenie ogrodzonym. Anteny zawieszono na masztach usytowanych na dachu budynku. Urządzenia sterujące oraz zasilające zainstalowano w szafie outdoor na dachu budynku. Wokół instalacji Teren zakładu, zabudowa jednorodzinna..

Instalacja radiokomunikacyjna jest obiektem bezobsługowym. Okresowe stanowiska pracy związane są z prowadzonymi w zależności od potrzeb konserwacjami, przeglądami, strojeniem i naprawami.

### 7.3. Parametry techniczne źródła pola elektromagnetycznego

Dane przedstawiające maksymalne parametry pracy instalacji przekazane przez zleceniodawcę:

Parametry systemu nadawczo-odbiorczego:

Charakterystyka promieniowania		kierunkowa					
Rzeczywisty czas pracy [h/dobę]		24					
Warunki pracy		znamionowe					
Rodzaj wytwarzanego pola		stacjonarne					
Lp.	Częstotliwość lub zakresy częstotliwości pracy [MHz]	Typ/producent anteny	liczba anten	Azymut [°]	kąt pochylenia* [°]	Wysokość środka elektrycznego anteny [m n.p.t.]	Równoważna moc promieniowana izotropowo (EIRP) [W]
1	800/900	80010310v01 Kathrein	1	90	2/2	33	7169
2	1800/2100	742235 Kathrein	1	90	4/4	33.3	10096
3	800/900	80010310v01 Kathrein	1	190	4/4	33	7169
4	1800/2100	ADU4518R6v06 Huawei	1	190	5/5	33.3	9847
5	800/900	ADU451723 Huawei	1	320	2/2	33	9427
6	1800/2100	742235 Kathrein	1	320	4/4	33.3	10096

\* wskazane wartości kąta pochylenia anten, zgodnie z informacją uzyskaną od zleceniodawcy, są wartościami stałymi

Parametry radiolinii:

Charakterystyka promieniowania				kierunkowa			
Rzeczywisty czas pracy [h/dobę]				24			
Warunki pracy				znamionowe			
Rodzaj wytwarzanego pola				stacjonarne			
Lp.	Linia radiowa			Antena			
	Typ/ Producent	Częstotliwość pracy [GHz]	Równoważna moc promieniowana izotropowo (EIRP) [W]	Typ/ producent	Średnica anteny [m]	Azymut [°]	Wysokość zainstalowania n.p.t [m]
1.	NEC iPasolink 200 Harris Stratex	38	15	VHLP1-38 Andrew	0.3	138	36
2.	NP CTR 600 HP 18GHz 2x56MHz XPIC Harris Stratex	18	11777	VHLP4-18 Andrew	1.2	186	35.5

### 7.4 Inne źródła pól elektromagnetycznych

Na podstawie informacji otrzymanych od użytkownika oraz obserwacji otoczenia miejsca wykonywania pomiarów oraz nie stwierdzono występowania innych źródeł pola-EM

## 8. Opis pomiarów

### 8.1. Metoda badań

Zgodna z rozporządzeniem Ministra Klimatu z dnia 17 lutego 2020 r. w sprawie sposobów sprawdzania dotrzymania dopuszczalnych poziomów pól elektromagnetycznych w środowisku (Dz. U. 2020, poz. 258), określona w pkt 25 ppkt 1 załącznika do niniejszego rozporządzenia.

Zgodnie z art. 122a ust. 1b ustawy Prawo Ochrony Środowiska, w przypadku wprowadzenia na części albo całym terytorium Rzeczypospolitej Polskiej stanu nadzwyczajnego, o którym mowa

Sprawozdanie z badań bez pisemnej zgody laboratorium nie może być powielane inaczej niż w całości.  
Wynik przedstawione w niniejszym sprawozdaniu odnoszą się wyłącznie do badanego obiektu i do warunków i konfiguracji urządzeń w dniu wykonywania pomiarów.

w art. 228 ust. 1 Konstytucji Rzeczypospolitej Polskiej z dnia 2 kwietnia 1997 r. (Dz. U. poz. 483, z 2001 r. poz. 319, z 2006 r. poz. 1471 oraz z 2009 r. poz. 946), lub stanu zagrożenia epidemicznego lub stanu epidemii, o których mowa w art. 46 ustawy z dnia 5 grudnia 2008 r. o zapobieganiu oraz zwalczaniu zakażeń i chorób zakaźnych u ludzi (Dz. U. z 2019 r. poz. 1239, z późn. zm.8) ), pomiarów , nie przeprowadza się w lokalach mieszkalnych oraz w lokalach użytkowych zlokalizowanych na terytorium objętym stanem nadzwyczajnym, stanem zagrożenia epidemicznego lub stanem epidemii.

W związku z obecnie obowiązującym stanem epidemii, pomiarów nie wykonano w lokalach mieszkalnych oraz w lokalach użytkowych zlokalizowanych w obszarze pomiarowym przedmiotowej instalacji radiokomunikacyjnej.

## 8.2. Termin pomiarów i warunki środowiskowe

Podczas wykonywania pomiarów pól elektromagnetycznych nie występowały opady atmosferyczne. Wyniki pomiaru parametrów pogodowych przedstawia poniższa tabela:

Data [rrrr-mm-dd]	Godzina [hh:mm-hh:mm]	Warunki środowiskowe			
		Temperatura [°C]		Wilgotność względna [%]	
2021-12-15	10:05-11:15	Przed pomiarem	Po pomiarach	Przed pomiarem	Po pomiarach
		2.1	2.1	70.1	70.2

Przedstawione wyżej warunki środowiskowe, występujące podczas wykonywania pomiarów pól elektromagnetycznych, są zgodne ze specyfikacją techniczną użytego zestawu pomiarowego.

## 8.3. Warunki pracy urządzeń nadawczych

Podczas pomiarów zostały uwzględnione poprawki pomiarowe przekazane przez zleceniodawcę, umożliwiające uwzględnienie maksymalnych parametrów pracy instalacji zgodnie z pkt 7 załącznika do Rozporządzeniem Ministra Klimatu z dnia 17 lutego 2020 r. w sprawie sposobów sprawdzania dotrzymania dopuszczalnych poziomów pól elektromagnetycznych w środowisku (Dz. U. 2020, poz. 258).

## 8.4. Wyposażenie pomiarowe

Zestaw pomiarowy służący do pomiaru natężenia składowej elektrycznej pola elektromagnetycznego złożony z szerokopasmowego miernika i sondy pomiarowej:

Oznaczenie miernika	Producent	Model	Numer fabryczny	Oznaczenie sondy	Producent	Model	Numer fabryczny
M-05	Narda Safety Test Solution	Miernik pól elektromagnetycznych NBM-550	F-0210	S-03	Narda Safety Test Solution	Sonda EF6092	A-0056

Mierniki natężenia pola elektromagnetycznego podlegają okresowemu sprawdzeniu zgodnie z procedurą wewnętrzną P-03 i PB-01. Świadectwo wzorcowania zestawu pomiarowego z dnia 20 listopada 2019 o numerze LWiMP/W/309/2019 wydane przez Laboratorium Wzorców i Metrologii Pola Elektromagnetycznego (LWiMP) Politechniki Wrocławskiej.  
Data ważności świadectwa wzorcowania: 28 lutego 2022 (zgodnie z procedurą wewnętrzną P-03).

Termohigrometr:

Oznaczenie:	TH-17	Producent:	AZ INSTRUMENT CORP	Model:	Termohigrometr AZ8706
-------------	-------	------------	--------------------	--------	-----------------------

Data ważności świadectwa wzorcowania: 5 maja 2022 (zgodnie z procedurą wewnętrzną P-03).

Dalmierz:

Oznaczenie	Producent	Typ	Numer seryjny	Nr świadectwa wzorcowania	Data świadectwa wzorcowania
D-12	Leica	Dalmierz Leica Disto D510	1050632837	4665.2-M11-4180-1748/15	27 listopada 2015

Data ważności świadectwa wzorcowania: 27 listopada 2025 (zgodnie z procedurą wewnętrzną P-03).

Sprawozdanie z badań bez pisemnej zgody laboratorium nie może być powielane inaczej niż w całości.  
Wynik przedstawione w niniejszym sprawozdaniu odnoszą się wyłącznie do badanego obiektu i do warunków i konfiguracji urządzeń w dniu wykonywania pomiarów.

## 9. Wyniki pomiarów

### Pole elektryczne

Nr pionu	Opis umiejscowienia pionu (punktu) pomiarowego	Wysokość pomiaru [m]	Zmierzona wartość natężenia pola elektrycznego E [V/m] <sup>1,5</sup>	Wartość natężenia pola elektrycznego po uwzględnieniu poprawek pomiarowych powiększona o niepewność pomiaru <sup>4</sup> E [V/m]	Wskaźnikowa wartość poziomu emisji pól elektromagnetycznych WME <sup>3</sup>	Współrzędne geograficzne pionu (punktu) pomiarowego <sup>2</sup>
1	GKP w odległości 15m od anteny sektorowej az. 90°	0,3-2,0	<1,0	2.5	0.09	50°37'26.759" 20°44'49.919"
2	GKP w odległości 30m od anteny sektorowej az. 90°	0,3-2,0	<1,0	2.5	0.09	50°37'26.759" 20°44'50.639"
3	GKP w odległości 47m od anteny sektorowej az. 90°	0,3-2,0	<1,0	2.5	0.09	50°37'26.759" 20°44'51.719"
4	GKP w odległości 80m od anteny sektorowej az. 90°	0,3-2,0	<1,0	2.5	0.09	50°37'26.759" 20°44'53.52"
5	GKP w odległości 18m od anteny radioliniowej az. 138°	0,3-2,0	<1,0	2.5	0.09	50°37'26.4" 20°44'49.919"
6	GKP w odległości 48m od anteny radioliniowej az. 138°	0,3-2,0	<1,0	2.5	0.09	50°37'25.68" 20°44'50.999"
7	GKP w odległości 19m od anteny radioliniowej az. 186°	0,3-2,0	<1,0	2.5	0.09	50°37'26.039" 20°44'48.84"
8	GKP w odległości 18m od anteny sektorowej az. 190°	0,3-2,0	<1,0	2.5	0.09	50°37'26.039" 20°44'48.84"
9	GKP w odległości 55m od anteny sektorowej az. 320°	0,3-2,0	<1,0	2.5	0.09	50°37'28.199" 20°44'47.4"
10	GKP w odległości 87m od anteny sektorowej az. 320°	0,3-2,0	<1,0	2.5	0.09	50°37'28.919" 20°44'46.32"
11	PPP na az. 352° w odległości 28m od anteny sektorowej az. 90°	0,3-2,0	<1,0	2.5	0.09	50°37'27.479" 20°44'49.199"
12	PPP na az. 74° w odległości 49m od anteny sektorowej az. 90°	0,3-2,0	<1,0	2.5	0.09	50°37'27.12" 20°44'51.719"
13	PPP na az. 158° w odległości 45m od anteny sektorowej az. 190°	0,3-2,0	<1,0	2.5	0.09	50°37'25.319" 20°44'49.919"
14	PPP na az. 147° w odległości 68m od anteny sektorowej az. 190°	0,3-2,0	<1,0	2.5	0.09	50°37'24.96" 20°44'50.999"
15	PPP na az. 196° w odległości 94m od anteny sektorowej az. 190°	0,3-2,0	<1,0	2.5	0.09	50°37'23.519" 20°44'47.76"
-	GKP w odległości 362m od anteny sektorowej az. 90°	0,3-2,0	<1,0	2.5	0.09	50°37'26.759" 20°45'7.559"
-	GKP w odległości 477m od anteny sektorowej az. 190°	0,3-2,0	<1,0	2.5	0.09	50°37'11.279" 20°44'44.879"
-	GKP w odległości 336m od anteny sektorowej az. 320°	0,3-2,0	<1,0	2.5	0.09	50°37'35.039" 20°44'38.04"

Sprawozdanie z badań bez pisemnej zgody laboratorium nie może być powielane inaczej niż w całości.  
Wynik przedstawione w niniejszym sprawozdaniu odnoszą się wyłącznie do badanego obiektu i do warunków i konfiguracji urządzeń w dniu wykonywania pomiarów.

Pole magnetyczne (wyznaczone na podstawie pomiaru wartości natężenia pola elektrycznego)

Nr pionu	Opis umiejscowienia pionu (punktu pomiarowego)	Wysokość pomiaru [m]	Wartość natężenia pola magnetycznego H [A/m] <sup>1</sup>	Wartość natężenia pola magnetycznego po uwzględnieniu poprawek pomiarowych powiększona o niepewność pomiaru <sup>4</sup> H [A/m]	Wskaźnikowa wartość poziomu emisji pól elektromagnetycznych WM <sub>H</sub> <sup>3</sup>	Współrzędne geograficzne pionu (punktu pomiarowego) <sup>2</sup>
1	GKP w odległości 15m od anteny sektorowej az. 90°	0,3-2,0	<0.003*	0.007	0.09	50°37'26.759" 20°44'49.919"
2	GKP w odległości 30m od anteny sektorowej az. 90°	0,3-2,0	<0.003*	0.007	0.09	50°37'26.759" 20°44'50.639"
3	GKP w odległości 47m od anteny sektorowej az. 90°	0,3-2,0	<0.003*	0.007	0.09	50°37'26.759" 20°44'51.719"
4	GKP w odległości 80m od anteny sektorowej az. 90°	0,3-2,0	<0.003*	0.007	0.09	50°37'26.759" 20°44'53.52"
5	GKP w odległości 18m od anteny radioliniowej az. 138°	0,3-2,0	<0.003*	0.007	0.09	50°37'26.4" 20°44'49.919"
6	GKP w odległości 48m od anteny radioliniowej az. 138°	0,3-2,0	<0.003*	0.007	0.09	50°37'25.68" 20°44'50.999"
7	GKP w odległości 19m od anteny radioliniowej az. 186°	0,3-2,0	<0.003*	0.007	0.09	50°37'26.039" 20°44'48.84"
8	GKP w odległości 18m od anteny sektorowej az. 190°	0,3-2,0	<0.003*	0.007	0.09	50°37'26.039" 20°44'48.84"
9	GKP w odległości 55m od anteny sektorowej az. 320°	0,3-2,0	<0.003*	0.007	0.09	50°37'28.199" 20°44'47.4"
10	GKP w odległości 87m od anteny sektorowej az. 320°	0,3-2,0	<0.003*	0.007	0.09	50°37'28.919" 20°44'46.32"
11	PPP na az. 352° w odległości 28m od anteny sektorowej az. 90°	0,3-2,0	<0.003*	0.007	0.09	50°37'27.479" 20°44'49.199"
12	PPP na az. 74° w odległości 49m od anteny sektorowej az. 90°	0,3-2,0	<0.003*	0.007	0.09	50°37'27.12" 20°44'51.719"
13	PPP na az. 158° w odległości 45m od anteny sektorowej az. 190°	0,3-2,0	<0.003*	0.007	0.09	50°37'25.319" 20°44'49.919"
14	PPP na az. 147° w odległości 68m od anteny sektorowej az. 190°	0,3-2,0	<0.003*	0.007	0.09	50°37'24.96" 20°44'50.999"
15	PPP na az. 196° w odległości 94m od anteny sektorowej az. 190°	0,3-2,0	<0.003*	0.007	0.09	50°37'23.519" 20°44'47.76"
-	GKP w odległości 362m od anteny sektorowej az. 90°	0,3-2,0	<0.003*	0.007	0.09	50°37'26.759" 20°45'7.559"

Sprawozdanie z badań bez pisemnej zgody laboratorium nie może być powielane inaczej niż w całości.  
Wynik przedstawione w niniejszym sprawozdaniu odnoszą się wyłącznie do badanego obiektu i do warunków i konfiguracji urządzeń w dniu wykonywania pomiarów.

-	GKP w odległości 477m od anteny sektorowej az. 190°	0,3-2,0	<0.003*	0.007	0.09	50°37'11.279" 20°44'44.879"
-	GKP w odległości 336m od anteny sektorowej az. 320°	0,3-2,0	<0.003*	0.007	0.09	50°37'35.039" 20°44'38.04"

GKP – Główny Kierunek Pomiarowy

PPP – Pomocniczy Pion pomiarowy

<sup>1</sup> wyniki oznaczone \* są wynikami poniżej czułości zestawu pomiarowego

<sup>2</sup> współrzędne geograficzne pozyskane metodą obliczeniową w oparciu o pomiar punktu referencyjnego

<sup>3</sup> do wyznaczenia wartości wskaźnikowej  $W_{ME}$  i  $W_{MH}$  przyjęto na podstawie uzgodnień z klientem oraz rozpoznania źródeł, jako wartości dopuszczalne pola elektrycznego i magnetycznego odpowiednio 28 V/m i 0,073 A/m.

<sup>4</sup> do wyznaczenia niepewności dla wyników poniżej czułości zestawu pomiarowego, przyjęto niepewność dla minimalnej wartości z zakresu pomiarowego.

<sup>5</sup> maksymalna wartość chwilowa

Niepewność oszacowano zgodnie z dokumentem P-03 „Procedura nadzoru nad wyposażeniem” w postaci niepewności rozszerzonej wynikającej z niepewności standardowej pomnożonej przez współczynnik rozszerzenia  $k=2$ .

Całkowita szacowana niepewność rozszerzona składowej E wynosi odpowiednio: 53.5% dla częstotliwości do 60 GHz

Dla przedmiotowych pomiarów zleceniodawca określił poprawkę pomiarową = 1.65.

Umieszczenie pionów (punktów) pomiarowych przedstawiono w nr 2 do niniejszego sprawozdania.

## 10. Omówienie wyników pomiarów

Wyniki pomiarów uzyskane zostały przy uwzględnieniu poprawek pomiarowych przekazanych przez zleceniodawcę, umożliwiających uwzględnienie maksymalnych parametrów pracy instalacji zleceniodawcy oraz innych operatorów występujących w obszarze pomiarowym.

W wyniku zastosowania sposobu sprawdzenia dotrzymania dopuszczalnych poziomów pól elektromagnetycznych w środowisku, zgodnie pkt 25 ppkt 1 Rozporządzenia Ministra Klimatu z dnia 17 lutego 2020 r. (Dz. U. 2020, poz. 258), w związku z tym, że żadna z wartości wskaźnikowych, udokumentowanych w tabelach w pkt. 9 nie przekracza wartości 1, stwierdza się, że w miejscach, w których wykonano pomiary w otoczeniu instalacji radiokomunikacyjnej 55143 (27143N!) KKI\_CHMIELNIK\_PIERZCHNIECK9, dopuszczalne poziomy pól elektromagnetycznych w środowisku należy uznać za dotrzymane.

## 11. Podstawa prawna

- 1) Ustawa z dnia 27 kwietnia 2001 r. Prawo ochrony środowiska (t. j. Dz. U. z 2020 r., poz. 1219 z późn.zm.)
- 2) Rozporządzenie Ministra Zdrowia z dnia 17 grudnia 2019 r. w sprawie dopuszczalnych poziomów pól elektromagnetycznych w środowisku (Dz. U. 2019, poz. 2448)
- 3) Rozporządzenie Ministra Klimatu z dnia 17 lutego 2020 r. w sprawie sposobów sprawdzania dotrzymania dopuszczalnych poziomów pól elektromagnetycznych w środowisku (Dz. U. 2020, poz. 258),
- 4) Akredytacja nr AB 419 wydana przez Polskie Centrum Akredytacji (wydanie 17, z dnia 13 stycznia 2021r.).

Sprawozdanie z badań bez pisemnej zgody laboratorium nie może być powielane inaczej niż w całości.  
Wynik przedstawione w niniejszym sprawozdaniu odnoszą się wyłącznie do badanego obiektu i do warunków i konfiguracji urządzeń w dniu wykonywania pomiarów.

## **12. Spis załączników**

- Załącznik 1. Lokalizacja obiektu badań
- Załącznik 2. Usytuowanie pionów (punktów) pomiarowych
- Załącznik 3. Dokumentacja fotograficzna obiektu badań

## **13. Data wydania i autoryzowania sprawozdania**

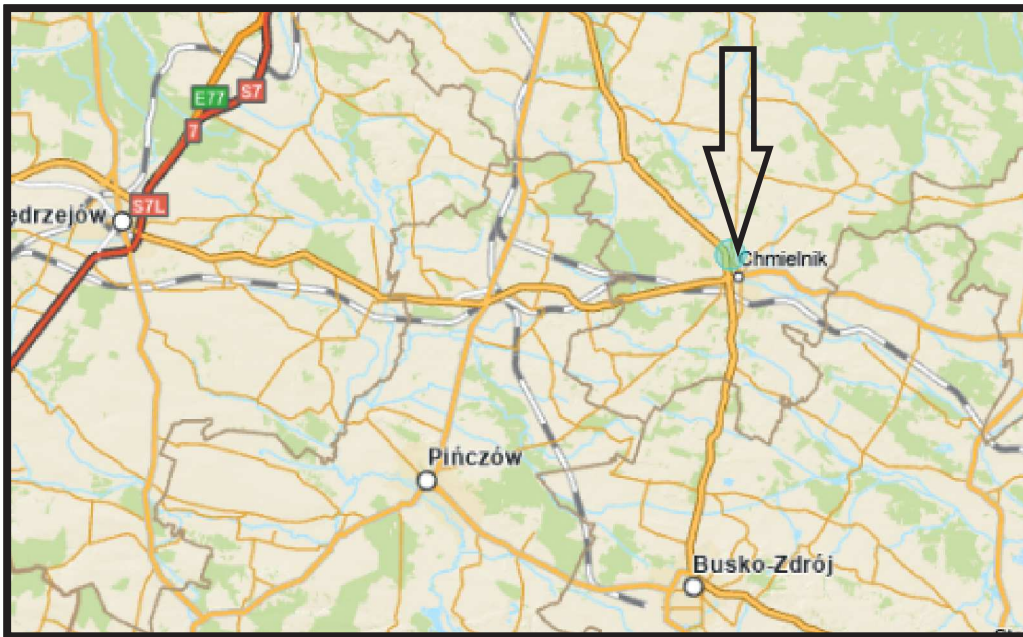
Obliczenia i sprawozdanie wykonał :

Sprawozdanie autoryzował:

**Koniec sprawozdania**

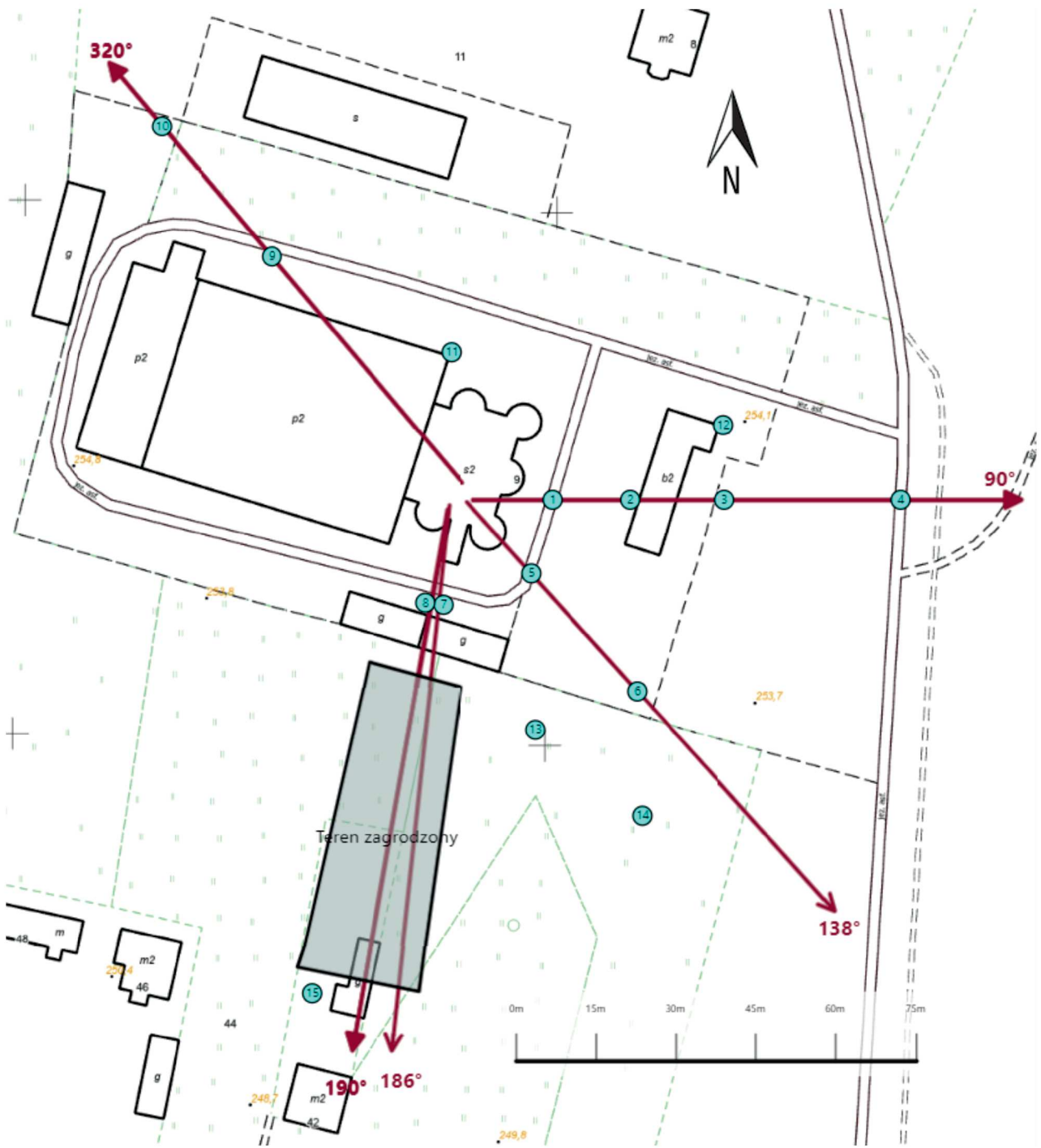
Sprawozdanie z badań bez pisemnej zgody laboratorium nie może być powielane inaczej niż w całości.  
Wynik przedstawione w niniejszym sprawozdaniu odnoszą się wyłącznie do badanego obiektu i do warunków i konfiguracji urządzeń w dniu wykonywania pomiarów.








Załącznik nr 1	<b>INSTALACJA RADIOKOMUNIKACYJNA T-Mobile Polska S.A. 55143 (27143N!) KKI_CHMIELNIK_PIERZCHNIECK9</b> Lokalizacja instalacji radiokomunikacyjnej
----------------	---

Sprawozdanie z badań bez pisemnej zgody laboratorium nie może być powielane inaczej niż w całości.  
 Wynik przedstawione w niniejszym sprawozdaniu odnoszą się wyłącznie do badanego obiektu i do warunków i konfiguracji urządzeń w dniu wykonywania pomiarów.



Załącznik nr 2	<p style="text-align: center;">Instalacja radiokomunikacyjna T-Mobile Polska S.A.  KKI_CHMIELNIK_PIERZCHNIECK9 (27143N!)  Usytuowanie pionów pomiarowych w otoczeniu instalacji radiokomunikacyjnej</p>
	<p>Legenda:</p> <div style="display: flex; justify-content: space-around; align-items: center;"> <div style="text-align: center;">  <p>Pion pomiarowy</p> </div> <div style="text-align: center;">  <p>Kierunek oddziaływania anten sektorowych</p> </div> <div style="text-align: center;">  <p>Kierunek oddziaływania anten radioliniowych</p> </div> </div>



Załącznik nr 3

**INSTALACJA RADIOKOMUNIKACYJNA T-Mobile Polska S.A. 55143 (27143N!) KKI\_CHMIELNIK\_PIERZCHNIECKO**

Zdjęcia instalacji radiokomunikacyjnej

Sprawozdanie z badań bez pisemnej zgody laboratorium nie może być powielane inaczej niż w całości.  
Wynik przedstawione w niniejszym sprawozdaniu odnoszą się wyłącznie do badanego obiektu i do warunków i konfiguracji urządzeń w dniu wykonywania pomiarów.